

LØYSING ØVING 12

Løysing oppgåve 1 Vinkelfunksjonar, radialfunksjonar og orbitalar for hydrogenliknande system

a) Ved kontroll av eigenverdiane kan vi sjå bort frå normeringsfaktorane. Vi finn då at

$$\begin{aligned}\hat{\mathbf{L}}^2 \cos \theta &= -\hbar^2 \left(\frac{\partial^2}{\partial \theta^2} + \cot \theta \frac{\partial}{\partial \theta} + \frac{1}{\sin^2 \theta} \frac{\partial^2}{\partial \phi^2} \right) \cos \theta \\ &= -\hbar^2 \left(-\cos \theta + \frac{\cos \theta}{\sin \theta} \cdot (-\sin \theta) + 0 \right) = 2\hbar^2 \cos \theta.\end{aligned}$$

Konklusjonen er at $\cos \theta$ (og dermed Y_{10}) er ein eigenfunksjon til $\hat{\mathbf{L}}^2$ med eigenverdi $2\hbar^2$. Dette stemmer med fasiten, som seier at eigenverdien skal vere $\hbar^2 l(l+1) = \hbar^2 \cdot 1 \cdot (1+1) = 2\hbar^2$. Tilsvarande finn vi at

$$\hat{L}_z \cos \theta = \frac{\hbar}{i} \frac{\partial}{\partial \phi} \cos \theta = 0;$$

eigenverdien er altså lik null, som stemmer med fasiten $m\hbar$ for $m = 0$.

For $Y_{1\pm 1}$ finn vi på same måte

$$\hat{L}_z \sin \theta e^{\pm i\phi} = \frac{\hbar}{i} \frac{\partial}{\partial \phi} \sin \theta e^{\pm i\phi} = \pm \hbar \cdot \sin \theta e^{\pm i\phi},$$

som stemmer med fasiten $m\hbar$ for $m = \pm 1$. Vidare finn vi

$$\begin{aligned}\hat{\mathbf{L}}^2 \sin \theta e^{\pm i\phi} &= -\hbar^2 \left(\frac{\partial^2}{\partial \theta^2} + \cot \theta \frac{\partial}{\partial \theta} + \frac{1}{\sin^2 \theta} \frac{\partial^2}{\partial \phi^2} \right) \sin \theta e^{\pm i\phi} \\ &= -\hbar^2 \left(\frac{\partial^2}{\partial \theta^2} + \cot \theta \frac{\partial}{\partial \theta} + \frac{1}{\sin^2 \theta} \cdot (-1) \right) \sin \theta e^{\pm i\phi} \\ &= -\hbar^2 \left(-\sin \theta + \frac{\cos \theta}{\sin \theta} \cos \theta - \frac{1}{\sin \theta} \right) e^{\pm i\phi} \\ &= -\hbar^2 \left(-\sin \theta + \frac{-\sin^2 \theta}{\sin \theta} \right) e^{\pm i\phi} = 2\hbar^2 \cdot \sin \theta e^{\pm i\phi}.\end{aligned}$$

Altså er $\sin \theta e^{\pm i\phi}$ (og dermed $Y_{1\pm 1}$) eigenfunksjonar til $\hat{\mathbf{L}}^2$ med eigenverdi lik $2\hbar^2$, slik fasiten seier.

Kontroll av normeringa:

$$\begin{aligned}\int |Y_{10}|^2 d\Omega &= \frac{3}{4\pi} \int_0^{2\pi} d\phi \int_0^\pi \cos^2 \theta \cdot \sin \theta d\theta \quad [\sin \theta d\theta = -d(\cos \theta)] \\ &= \frac{3}{2} \int_{-1}^1 \cos^2 \theta \cdot d(\cos \theta) = 1.\end{aligned}$$

$$\begin{aligned}\int |Y_{1\pm 1}|^2 d\Omega &= \frac{3}{8\pi} \int_0^{2\pi} d\phi \int_0^\pi \sin^2 \theta \cdot \sin \theta d\theta \\ &= \frac{3}{4} \int_{-1}^1 (1 - \cos^2 \theta) d(\cos \theta) = 1.\end{aligned}$$

Ortogonaliteten følgjer av at dei tre funksjonane er eigenfunksjonar til \hat{L}_z med forskjellige eigenverdiar; jf regel (2.26) side 28 i boka.

b) Erfaringa frå eindimensjonale energieigenverdi-problem er at krumminga og dermed energien aukar med talet på nodar. Sidan radiallikninga for $u(r)$ for ein bestemt l har eindimensjonal form, er det då heilt naturleg at energiane er strengt stigande med stigande radialekvantetal (nodetal) n_r .

Med $u = Cr^2e^{-r/2a}$ finn vi at

$$u' = Ce^{-r/2a} \left(-\frac{r^2}{2a} + 2r \right) \quad \text{og} \quad u'' = Ce^{-r/2a} \left(\frac{r^2}{4a^2} - \frac{2r}{a} + 2 \right).$$

Innsett i radiallikninga for u gjev dette

$$\begin{aligned} 0 &= Ce^{-r/2a} \left[-\frac{\hbar^2}{2m_e} \left(\frac{r^2}{4a^2} - \frac{2r}{a} + 2 \right) + r^2 \left(-\frac{\hbar^2}{m_e ar} + \frac{2\hbar^2}{2m_e r^2} \right) - Er^2 \right] \\ &= Ce^{r/2a} \left[r^2 \left(-\frac{\hbar^2}{8m_e a^2} - E \right) \right]. \end{aligned}$$

Konklusjonen er at u er ei løysing av radiallikninga, med energieigenverdien

$$E = -\frac{\hbar^2}{8m_e a^2},$$

som er ein firedel av energien i grunntilstanden, og som svarer til hovudkvantetalet $n = 2$.

Normeringskravet er

$$1 = \int |\psi_{21m}|^2 d^3r = \int |Y_{1m}|^2 d\Omega \cdot \int_0^\infty |R(r)|^2 r^2 dr.$$

Då vinkelfunksjonane er normerte til 1, blir normeringskravet til radialfunksjonane

$$1 = \int_0^\infty r^2 |R|^2 dr = \int_0^\infty |u|^2 dr = |C|^2 \int_0^\infty r^4 e^{-r/a} dr = |C|^2 a^5 \cdot 4!.$$

Vi oppnår ein normert radialfunksjon ved å velge

$$C = \frac{1}{\sqrt{24a^5}}.$$

Ved å samanlikne vil du sjå at dette stemmer med formlane side 107 i boka (og med tabellen i oppgåveteksten).

For R_{53} er talet på nodar $n_r = n - l - 1 = 5 - 3 - 1 = 1$, så denne gjev opphav til éi kuleform nodeflate. R_{21} er fri for nodar, og gjev difor inga kuleforma nodeflate. For R_{54} er radialekvantetalet tilsvarende $n_r = 0$, så denne radialfunksjonen gjev ikkje opphav til noko (kuleforma) nodeflate.

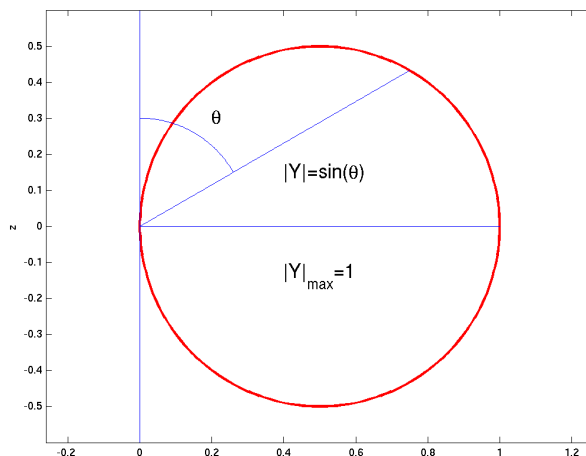
Frå formelen $n = l + 1 + n_r$ følgjer det at den største l -verdien for eit bestemt hovudkvantetal er $l_{\max} = n - 1$. Den minste l -verdien er lik null. Altså kan radialekvantetalet n_r maksimalt vere lik $n - 1$. (Jf tabellen med radialfunksjonar.)

c) Dei sfæriske harmoniske Y_{lm} er avhengig av ϕ via faktoren $e^{im\phi}$. For $m = 0$ er altså

funksjonane Y_{l0} uavhengige av ϕ , dvs rotasjonssymmetriske mot z -aksen. Det samme gjeld openbert for *talverdiane* $|Y_{lm}|$ av dei sfæriske harmoniske, og dermed også for $|\psi_{nlm}|$ og sannsynlehetstettheitene $|\psi_{nlm}|^2$.

Vinkelfunksjonen i polardiagrammet er forskjellig frå null for $\theta = 0$, og må såleis ha $m = 0$ (sidan Y_{lm} er proporsjonal med $\sin^{|m|} \theta$). Då den er lik null berre for $\theta = \pi/2$, må det vere $\cos \theta$; altså manglar berre faktoren $\sqrt{3/4\pi}$ på at det er Y_{10} . (Alle dei øvrige funksjonane Y_{l0} inneholder polynom av høgare grad i $\cos \theta$, og er difor lik null for fleire vinklar θ .)

Funksjonen $\sqrt{4\pi/3} Y_{10} = \cos \theta$ er positiv (negativ) for positive (negative) z .

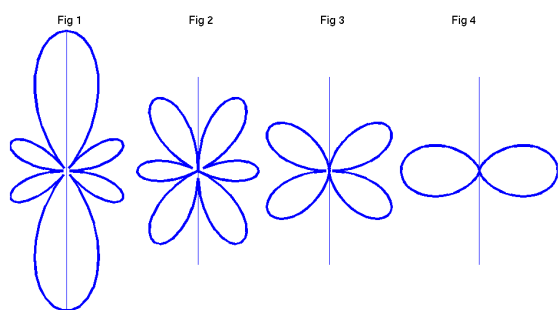


Figuren viser polardiagrammet for funksjonen

$$\sqrt{3/8\pi} |Y_{1,\pm 1}| = \sin \theta,$$

denne gangen berre for $0 < \theta < \pi$. Som du sikkert skjønar, er også dette ein sirkel. Når vi roterer ein sirkel rundt z -aksen, får vi ein torus (smultring).

d)



I figur 1 er $m = 0$ sidan $|Y|$ er forskjellig frå null for $\theta = 0$. Vi ser vidare at $|Y|$ er lik null for tre verdiar av θ i intervallet $0 < \theta < \pi$. Vi har altså $l - |m| = 3$, for $\theta = \frac{1}{2}\pi$ og for to andre vinklar, i nærlieken av 40–50 grader og $\pi - 40\text{--}50$ grader. Graden av polynommet i $\cos \theta$ er såleis lik 3, slik at $l - |m| = l = 3$. Så polardiagrammet til venstre viser vinkelfordelinga $|Y_{30}|$. I tabellen ser vi at Y_{30} er proporsjonal med $\cos \theta(5 \cos^2 \theta - 3)$. Dette polynomet har nullpunkt for $\theta = \frac{1}{2}\pi$ og for

$$\theta = \pm \arccos \sqrt{3/5} = \pm 39.23^\circ,$$

og vi ser at dette er i tråd diagrammet. I figurane 2–4 er dei tilsvarende tala på nullpunkt (for $0 < \theta < \pi$) 2, 1 og null. Desse viser difor $|Y_{3,\pm 1}|$, $|Y_{3,\pm 2}|$ og $|Y_{3,\pm 3}|$.

Fig 1 (Y_{30}) gjev for det fyrste eit nodeplan i xy -planet, for det andre to kjegleforma nodeflater med toppvinklar bestemt av vinklane som nemnt ovanfor. Fig 2 ($Y_{3,\pm 1}$) gjev to kjegleforma nodeflater. Fig 3 ($Y_{3,\pm 2}$) gjev her xy -planet som eit nodeplan, og Fig 4 ($Y_{3,\pm 3}$) gir inga nodeflate (men har z -aksen som ei nodelinje, om du vil).

e) Orbitalen $\psi_{2p_z} = \psi_{210}$ er antisymmetrisk med omsyn på origo (dvs mop rominversjon), og slik skal det vere. Paritetten er bestemt av vinkelfunksjonen, og paritetten til alle vinkelfunksjonar med $l = 1$ er negativ (generelt $(-1)^l$). Vi har at xy -planet er nodeplan.

På den øvre nodeflata har $2p_z$ -orbitalen ψ_{210} ein konstant positiv verdi; på den nedre flata like stor og motsett verdi. Fordi bølgjefunksjonen er kontinuerleg, kan dei to flatene ikkje vere i kontakt. (Jf konturkurvene i f).

f) Smultringen har inga nodeflate. Vi ser og at orbitalen ψ_{2p_x} er gjeven ved same formel som $2p_z$ -orbitalen, berre med x istadenfor z . Forma til dei to orbitalane er derfor nøyaktig den same, berre med den skilnaden at $2p_x$ -orbitalen er rotasjonssymmetrisk mop x -aksen. Tilsvarende har $2p_y$ -orbitalen same form med y -aksen som symmetriakse. Figuren viser $2p_x$ -orbitalen

